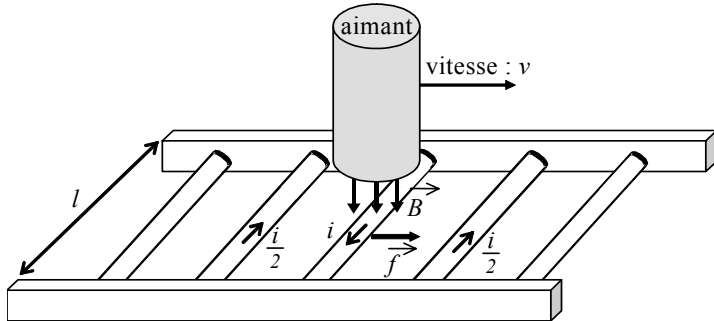


3 Machine Asynchrone (induction machine)



1

Déplacement d'un aimant devant un rail en court circuit



D'après la loi de Faraday, une tension est induite dans chaque conducteur coupé par le champ magnétique.

Comme chaque conducteur est court-circuité, il conducteur qui est momentanément en dessous du champ magnétique (ou de l'aimant).

Comme ce courant traverse le champ magnétique, d'après la loi de Laplace, une force mécanique est appliquée sur ce conducteur.

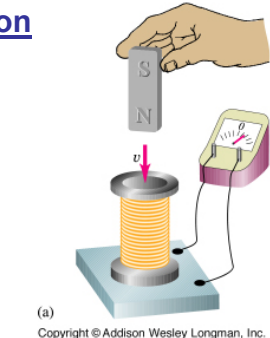
3

Rappel sur l'auto-induction

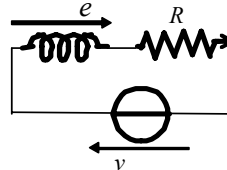
Déplacement d'un aimant devant une bobine

- La loi de Faraday (et de Lenz) explique qu'en cas de **variation du flux magnétique** à l'intérieur de ce circuit, une force contre électromotrice est induite (générée):

$$e = -\frac{d\Phi}{dt}$$



- Si la bobine a une résistance R et est alimentée sous une tension v : e est générée et additionnée à v



Si la bobine est linéaire $\phi = Li$

2

Déplacement d'un aimant devant un rail en court circuit

Cette force entraîne le conducteur dans le sens du déplacement du champ magnétique.

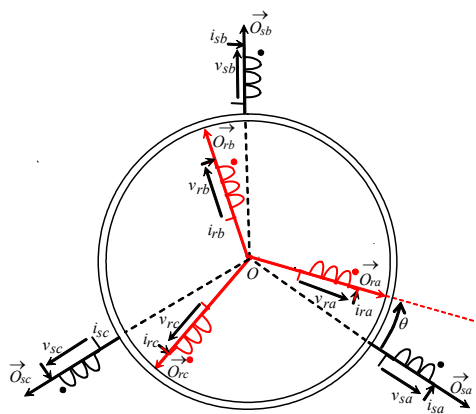
Si ces conducteurs sont mobiles ces derniers accélèrent. A mesure qu'ils atteignent de la vitesse, la vitesse à laquelle le champ magnétique est coupé par ces conducteurs ralentit. La **variation du flux diminue** et la tension induite diminue, de même que le courant i .

Cet effet de la loi de Lenz
conséquence de diminuer la force de Laplace.
Ainsi si les conducteurs se déplaçaient à la même vitesse que le champ magnétique, la tension induite, le courant i et la force s'annulerait.

La vitesse du rotor est donc légèrement inférieure à la vitesse du champ magnétique.

4

Machine asynchrone :
3 bobines fixes décalées de 120°
et 3 bobines mobiles décalées de 120°



sa,sb,sc :
Enroulements **statoriques** fixes

ra,rb,rc :
Enroulements **rotoriques** mobiles
Court-circuités
Alimentation **induite** par les
enroulements statoriques

5

Tensions statoriques (notation matricielle)

$$\begin{pmatrix} v_{sa} \\ v_{sb} \\ v_{sc} \end{pmatrix} = \begin{pmatrix} R_S & 0 & 0 \\ 0 & R_S & 0 \\ 0 & 0 & R_S \end{pmatrix} \begin{pmatrix} i_{sa} \\ i_{sb} \\ i_{sc} \end{pmatrix} + \frac{d}{dt} \begin{pmatrix} \phi_{sa} \\ \phi_{sb} \\ \phi_{sc} \end{pmatrix}$$

$$\left\{ \frac{d[\phi_s]}{dt} = \right.$$

Tensions rotoriques (notation matricielle)

$$\begin{pmatrix} v_{ra} \\ v_{rb} \\ v_{rc} \end{pmatrix} = \begin{pmatrix} R_R & 0 & 0 \\ 0 & R_R & 0 \\ 0 & 0 & R_R \end{pmatrix} \begin{pmatrix} i_{ra} \\ i_{rb} \\ i_{rc} \end{pmatrix} + \frac{d}{dt} \begin{pmatrix} \phi_{ra} \\ \phi_{rb} \\ \phi_{rc} \end{pmatrix}$$

Si rotor en CC

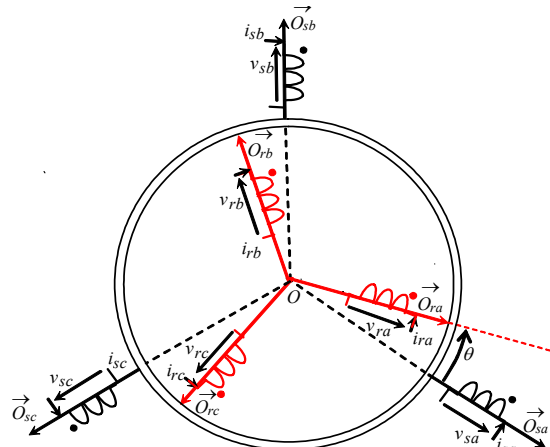
$$\begin{pmatrix} v_{ra} \\ v_{rb} \\ v_{rc} \end{pmatrix} = \begin{pmatrix} 0 \\ 0 \\ 0 \end{pmatrix}$$

$$\left\{ \frac{d[\phi_r]}{dt} = [V_r] - [R_r][I_r] \right\}$$

6

Flux statorique dans un enroulement statorique

$$\phi_{sa} = l_s i_{sa} + M_s i_{sb} + M_s i_{sc} + M_{sr} \left(i_{ra} \cos(\theta) + i_{rb} \cos\left(\theta + \frac{2\pi}{3}\right) + i_{rc} \cos\left(\theta + \frac{4\pi}{3}\right) \right)$$



7

Flux statorique (notation matricielle)

$$\left\{ [\phi_s] = \begin{bmatrix} \phi_{sa} \\ \phi_{sb} \\ \phi_{sc} \end{bmatrix} = \begin{bmatrix} l_s & M_s & M_s \\ M_s & l_s & M_s \\ M_s & M_s & l_s \end{bmatrix} \begin{bmatrix} i_{sa} \\ i_{sb} \\ i_{sc} \end{bmatrix} + M_{sr} [R(\theta)] \begin{bmatrix} i_{ra} \\ i_{rb} \\ i_{rc} \end{bmatrix} \right\}_{stator}$$

$$[R(\theta)] = \begin{bmatrix} \cos(\theta) & \cos(\theta - \frac{4}{3}\pi) & \cos(\theta - \frac{2}{3}\pi) \\ \cos(\theta - \frac{2}{3}\pi) & \cos(\theta) & \cos(\theta - \frac{4}{3}\pi) \\ \cos(\theta - \frac{4}{3}\pi) & \cos(\theta - \frac{2}{3}\pi) & \cos(\theta) \end{bmatrix}$$

Remarque

$$M_{sr} \cos(\vec{\phi}_{sa}, \vec{\phi}_{ra}) = M_{sr} \cos(\theta)$$

$$M_{sr} \cdot \cos(\vec{\phi}_{sa}, \vec{\phi}_{rb}) =$$

$$M_{sr} \cos(\vec{\phi}_{sa}, \vec{\phi}_{rc}) = M_{sr} \cos\left(\theta - \frac{4\pi}{3}\right) = M_{sr} \cos\left(\theta + \frac{2\pi}{3}\right)$$

8

Hypothèse :

Les courants sont équilibrés $\rightarrow i_{sc} = -i_{sa} = i_{sb}$

$$\phi_{sa} =$$

$$\left\{ \begin{aligned} \begin{bmatrix} \phi_s \\ \phi_r \end{bmatrix} &= \begin{bmatrix} L_s & 0 & 0 \\ 0 & L_s & 0 \\ 0 & 0 & L_s \end{bmatrix} \begin{bmatrix} i_{sa} \\ i_{sb} \\ i_{sc} \end{bmatrix} + M_{sr} [R(\theta)] \begin{bmatrix} i_{ra} \\ i_{rb} \\ i_{rc} \end{bmatrix} \end{aligned} \right\}_{stator}$$

$$\text{avec } L_s = l_s - M_s = \frac{3}{2}l_{sp} + l_{s\sigma}$$

9

Flux rotorique (notation matricielle)

$$\left\{ \begin{bmatrix} \phi_r \end{bmatrix} = \begin{bmatrix} \phi_{ra} \\ \phi_{rb} \\ \phi_{rc} \end{bmatrix} = \begin{bmatrix} L_r & 0 & 0 \\ 0 & L_r & 0 \\ 0 & 0 & L_r \end{bmatrix} \begin{bmatrix} i_{ra} \\ i_{rb} \\ i_{rc} \end{bmatrix} + M_{sr} [R(\theta)]^T \begin{bmatrix} i_{sa} \\ i_{sb} \\ i_{sc} \end{bmatrix} \right\}_{rotor}$$

10

Expression générale des flux rotoriques (notation matricielle)

$$\begin{bmatrix} \phi_s \\ \phi_r \end{bmatrix} = \begin{bmatrix} [L_s] & [M_{sr}(\theta)] \\ [M_{sr}(\theta)]^T & [L_r] \end{bmatrix} \begin{bmatrix} I_s \\ I_r \end{bmatrix} \rightarrow$$

$$[L_s] = \begin{bmatrix} L_s & 0 & 0 \\ 0 & L_s & 0 \\ 0 & 0 & L_s \end{bmatrix} \quad [M_{sr}(\theta)] = M_{sr} [R(\theta)] \quad [L_r] = \begin{bmatrix} L_r & 0 & 0 \\ 0 & L_r & 0 \\ 0 & 0 & L_r \end{bmatrix}$$

Problème: On a deux modèles dans deux repères tripasés différents

11

Modélisation dans un repère tournant de Park

Régime transitoire :

Comme pour la machine synchrone, on cherche à simplifier le modèle de la machine.

Tout d'abord, il faut utiliser un

On va utiliser la transformation de Park

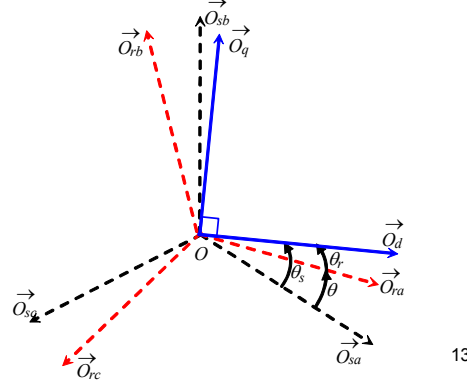
12

Grandeur statoriques :

Comme pour la machine synchrone (le stator étant identique), on applique aux grandeurs statoriques une transformation de Park d'angle $\theta_s(t)$

Grandeur rotoriques :

Pour se ramener dans ce repère de Park, on applique aux grandeurs rotoriques une transformation de Park d'angle $\theta_R(t) = \theta_S(t) - \theta(t)$



13

Transformée de Park sur les grandeurs du stator

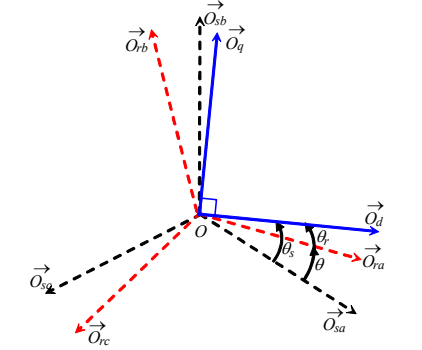
$$\left\{ \frac{d[\phi_s]}{dt} = [V_s] - [R_s][I_s] \right\}_{\text{stator}}$$

$$\frac{d[P(\theta_s)]^{-1}[\phi_{s_dq0}]}{dt} =$$

Rotation d'un angle θ_s dans le repère de Park

Tous calculs faits, on obtient :

$$\left\{ \begin{array}{l} \frac{d\phi_{sd}}{dt} = v_{sd} - R_s i_{sd} + \omega_s \phi_{sq} \\ \frac{d\phi_{sq}}{dt} = v_{sq} - R_s i_{sq} - \omega_s \phi_{sd} \\ \frac{d\phi_{s0}}{dt} = v_{s0} - R_s i_{s0} \end{array} \right.$$



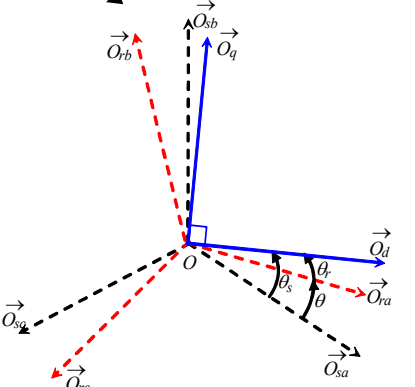
14

Transformée de Park sur les grandeurs du rotor

$$\left\{ \frac{d[\phi_r]}{dt} = [V_r] - [R_r][I_r] \right\}_{\text{rotor}}$$

$$\frac{d[P(\theta_r)]^{-1}[\phi_{r_dq0}]}{dt} =$$

Rotation d'un angle θ_r dans le même repère de Park



15

Tous calculs faits on obtient :

$$\left\{ \begin{array}{l} \frac{d\phi_{rd}}{dt} = v_{rd} - R_r i_{rd} + \omega_r \phi_{rq} \\ \frac{d\phi_{rq}}{dt} = v_{rq} - R_r i_{rq} - \omega_r \phi_{rd} \\ \frac{d\phi_{r0}}{dt} = v_{r0} - R_r i_{r0} \end{array} \right.$$

Transformée de Park sur les flux

$$\begin{bmatrix} [\phi_s] \\ [\phi_r] \end{bmatrix} = \begin{bmatrix} [L_s] & [M_{sr}(\theta)] \\ [M_{sr}(\theta)]^T & [L_r] \end{bmatrix} \begin{bmatrix} [I_s] \\ [I_r] \end{bmatrix}$$

$$\begin{bmatrix} [P(\theta_s)]^{-1}[\phi_{s_dq0}] \\ [P(\theta_r)]^{-1}[\phi_{r_dq0}] \end{bmatrix} =$$

Tous calculs faits on obtient :

$$\begin{bmatrix} [\phi_{s_dq0}] \\ [\phi_{r_dq0}] \end{bmatrix} = \begin{bmatrix} [L_{ps}] & [M_{psr}] \\ [M_{psr}]^T & [L_{pr}] \end{bmatrix} \begin{bmatrix} [I_{s_dq0}] \\ [I_{r_dq0}] \end{bmatrix}$$

$$[L_{ps}] = \begin{bmatrix} L_s & 0 & 0 \\ 0 & L_s & 0 \\ 0 & 0 & L_{s0} \end{bmatrix} \quad [L_{pr}] = \begin{bmatrix} L_r & 0 & 0 \\ 0 & L_r & 0 \\ 0 & 0 & L_{r0} \end{bmatrix} \quad [M_{psr}] = \frac{3}{2} M_{sr}[R_r] \quad [R_r] = \begin{bmatrix} 1 & 0 & 0 \\ 0 & 1 & 0 \\ 0 & 0 & 0 \end{bmatrix}$$

16

En résumé :

$$v_{Sd} = R_S i_{Sd} + \frac{d\phi_{Sd}}{dt} - \omega_S \phi_{Sq}$$

$$v_{Sq} = R_S i_{Sq} + \omega_S \phi_{Sd} + \frac{d\phi_{Sq}}{dt}$$

$$v_{Rd} = R_R i_{Rd} + \frac{d\phi_{Rd}}{dt} - \omega_r \phi_{Rq} = 0$$

$$v_{Rq} = R_R i_{Rq} + \omega_r \phi_{Rd} + \frac{d\phi_{Rq}}{dt} = 0$$

$$\phi_{Sd} = L_s i_{Sd} + M i_{Rd}$$

$$\phi_{Sq} = L_s i_{Sq} + M i_{Rq}$$

$$\phi_{Rd} = L_r i_{Rd} + M i_{Sd}$$

$$\phi_{Rq} = L_r i_{Rq} + M i_{Sq}$$

$$M = \frac{3}{2} M_{sr}$$

Même si ces équations paraissent lourdes, elles sont bien plus simples que celles écrites au début de l'étude !!!

17

Machine asynchrone : calcul du couple

On peut maintenant pour un régime quelconque, calculer le couple instantané en faisant un bilan de puissance :

On obtient :

$$c = M(i_{rd} i_{sq} - i_{rq} i_{sd})$$

$$c = p \frac{M}{L_r} (i_{sq} \phi_{rd} - i_{sd} \phi_{rq})$$

$$c = p (i_{sq} \phi_{sd} - i_{sd} \phi_{sq})$$

18

Machine asynchrone : commande vectorielle

Stratégies de commande par orientation du flux

Si on aligne le repère de Park avec un des deux flux, on annule une composante

4 idées pour simplifier l'expression du couple

Expression avec les flux rotoriques

$$c = p \frac{M}{L_r} (i_{sq} \phi_{rd} - i_{sd} \phi_{rq})$$

Commande à flux rotorique orienté sur l'axe direct $\phi_{rq}=0$

$$c = p \frac{M}{L_r} (i_{sq} \phi_{rd})$$

sur l'axe en quadrature $\phi_{rd}=0$

$$c = -p \frac{M}{L_r} (i_{sd} \phi_{rq})$$

Expression avec les flux statoriques

$$c = p (i_{sq} \phi_{sd} - i_{sd} \phi_{sq})$$

Commande à flux statorique orienté sur l'axe direct $\phi_{sq}=0$

$$c = p i_{sq} \phi_{sd}$$

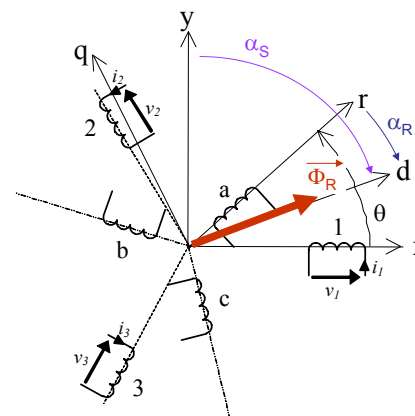
sur l'axe en quadrature $\phi_{sd}=0$

$$c = -p i_{sd} \phi_{sq}$$

19

Machine asynchrone : commande vectorielle

Stratégie la plus utilisée : Orientation à flux rotorique orienté sur l'axe direct



$\Phi_{Rq}=0$, le couple devient :

$$c = p \frac{M}{L_r} (i_{sq} \phi_{rd})$$

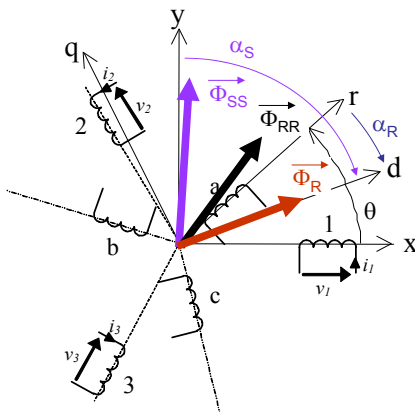
On montre (et on voit) que :

c ne dépend que de i_{sq} si Φ_R est maintenu constant

20

Machine asynchrone : commande vectorielle

En régime permanent :



On constate que (par rapport à la machine synchrone) le flux statorique ne peut plus être perpendiculaire au flux rotorique.

En effet, il n'y a qu'une source d'alimentation pour :

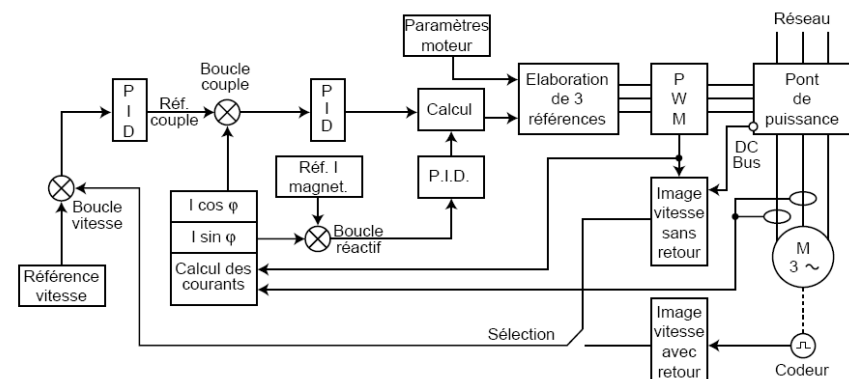
- Magnétiser la machine (comme le fait l'enroulement inducteur d'une MS) par la composante de l'axe **d**
- Produire du couple par la **composante de l'axe q**

21

Machine asynchrone : Synoptique de commande

Schéma fonctionnel

- UMV 3301



22

BILAN :

Machine synchrone + variateur :

- Commande performante plus aisée car la machine est magnétisée par le rotor. Il ne faut contrôler que le couple
- Rapport puissance/masse élevé
- Machine au prix plus élevé (aimants ou bobinage rotorique + bagues collectrices)

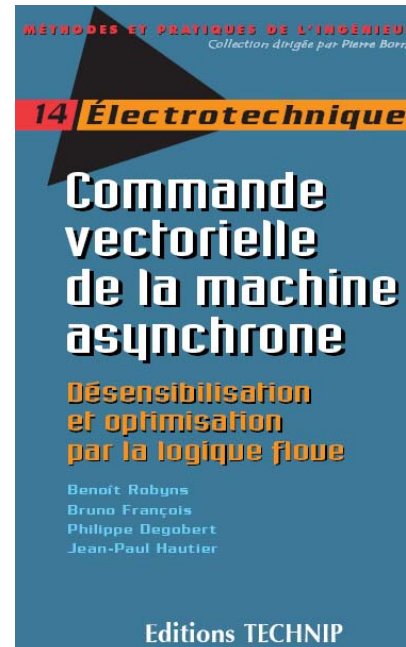
Machine asynchrone + variateur :

- Commande performante plus exigeante car il faut magnétiser et contrôler le couple en même temps et de façon indépendante
- Rapport puissance/masse moins élevé - ventilation plus importante
- Machine au prix le plus bas du marché
- Possibilité d'utiliser des commandes moins performantes

Il n'y a pas de bon choix. Tout dépend de l'application envisagée et des performances attendues.

23

BIBLIOGRAPHIE



- Electrotechnique industrielle. G.Séguier Editions Tech et doc
- Introduction à la commande vectorielle des machines asynchrones. Patrick Brunet
- Cours machines asynchrones.* Alain Cunière. Gilles Feld.

24